

Modellierung von Lawinenbewegungen

Die Savage-Hutter-Gleichungen

Lars Lubkoll

14. Dezember 2007

Inhaltsverzeichnis

- 1 Transformation in neues Koordinatensystem
- 2 Exakte Lösungen der Savage-Hutter-Gleichungen
 - Parabolic cap solution
 - M-Welle
 - Schock-Welle
- 3 weitere exakte Lösungen
- 4 Konsequenzen für numerische Lösungen
- 5 Quellen

Die Savage-Hutter-Gleichungen

Gleichungen (I)

$$\frac{\partial \bar{h}}{\partial t} + \frac{\partial}{\partial x}(\bar{h}\bar{u}) = 0$$

$$\frac{\partial \bar{u}}{\partial t} + \bar{u} \frac{\partial \bar{u}}{\partial x} = (\sin\zeta - \tan\delta \operatorname{sgn}(\bar{u}) \cos\zeta) - \beta \frac{\partial \bar{h}}{\partial x}$$

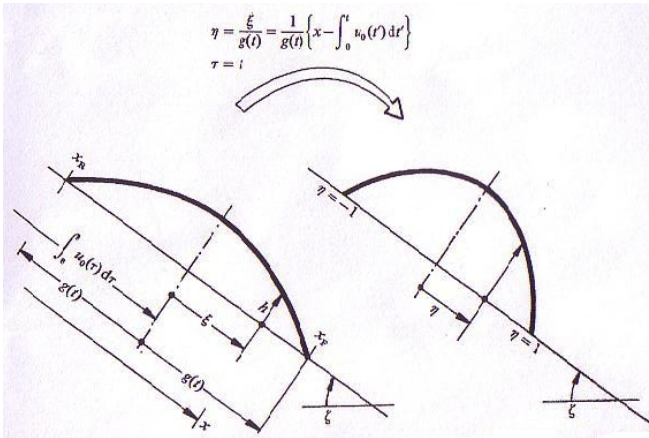
$$\beta = \epsilon k_{actpass} \cos\zeta$$

Randbedingungen

$$h(x, t) = h_F \quad x = x_F(t)$$

$$h(x, t) = h_R \quad x = x_R(t)$$

neues Koordinatensystem



neues Koordinatensystem

Ortskoordinate und relative Geschwindigkeit

$$\eta = x - \frac{\xi}{g(t)}$$
$$\tilde{u} = u - u_0(t)$$

$$\xi = x - \int_0^t u_0(t') dt'$$
$$u_0(t) = \int_0^t (\sin\zeta - \tan\delta \cos\zeta) dt'$$

Annahmen

$$h(\xi, t) = h(-\xi, t) \text{ (Höhe achsensymmetrisch bzgl. } \xi = 0)$$
$$\tilde{u}(\xi, t) = -\tilde{u}(-\xi, t) \text{ (rel. Geschw. schiefsymm. bzgl. } \xi = 0)$$

Savage-Hutter-Gleichungen in neuen Koordinaten

transformierte Differentialoperatoren

$$\frac{\partial}{\partial t} = \frac{\partial}{\partial \tau} - \left(\eta \frac{\dot{g}}{g} + \frac{u_0}{g} \right) \frac{\partial}{\partial \eta}$$

$$\frac{\partial}{\partial x} = \frac{1}{g} \frac{\partial}{\partial \eta}$$

Gleichungen (II) ((I) transformiert, $t = \tau$)

$$(a) \quad \frac{\partial h}{\partial t} - \eta \frac{\dot{g}}{g} \frac{\partial h}{\partial \eta} + \frac{1}{g} \frac{\partial}{\partial \eta} (h \tilde{u}) = 0$$

$$(b) \quad \frac{\partial \tilde{u}}{\partial t} - \eta \frac{\dot{g}}{g} \frac{\partial \tilde{u}}{\partial \eta} + \frac{1}{g} \left(\tilde{u} \frac{\partial \tilde{u}}{\partial \eta} + \beta \frac{\partial h}{\partial \eta} \right) = 0$$

Inhaltsverzeichnis

- 1 Transformation in neues Koordinatensystem
- 2 Exakte Lösungen der Savage-Hutter-Gleichungen
 - Parabolic cap solution
 - M-Welle
 - Schock-Welle
- 3 weitere exakte Lösungen
- 4 Konsequenzen für numerische Lösungen
- 5 Quellen

Ansatz

Wähle Ansatz $\tilde{u}(\eta, t) = \eta g'(t)$

Eingesetzt in (II)(b):

$$\frac{\partial h}{\partial \eta} = -\frac{g\ddot{g}}{\beta}\eta$$

Integration unter Berücksichtigung der RB $h(\eta = \pm 1) = 0$ ergibt:

$$h = \frac{g\ddot{g}}{2\beta}(1 - \eta^2)$$

Berechnung von g

Aus Massenerhaltung und konst. Dichte folgt:

$$\int_{\xi_R}^{\xi_F} h(\xi, t) d\xi = \int_{-1}^1 h(\eta, t) g(t) d\eta = M = \text{const.}$$

Hieraus ergibt sich nach Vertauschung von abh. und unabh. Variablen die Lösung

$$(g(g-1))^{\frac{1}{2}} + \ln|g^{\frac{1}{2}} + (g-1)^{\frac{1}{2}}| = (3\beta M)^{\frac{1}{2}} t$$

Parametric cap solution

Parameterabh. Lösung

$$\tilde{u}(\eta, t) = \left[\frac{2K}{g}(g-1) \right]^{\frac{1}{2}} \eta$$

$$h(\eta, t) = \frac{K}{g}(1 - \eta^2)$$

$$K = \frac{3\beta M}{2+3d_M}$$

Kontrollgleichung (Konsistenz mit Annahmen):

$$\lim_{t \rightarrow 0} \frac{\dot{g}}{u_0} = \frac{2\epsilon k_{actpass} \cos \zeta}{\sin \zeta - \tan \delta \cos \zeta} < 1$$

Parametric cap solution

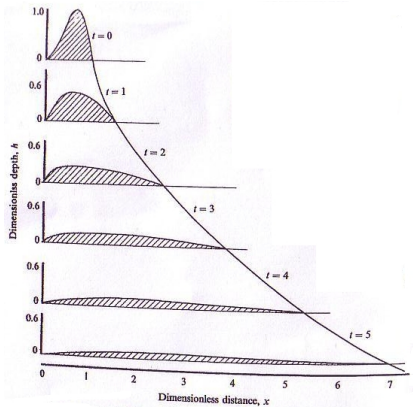
Parameterabh. Lösung für $h(\eta = \pm 1, t) = d_M$:

$$\tilde{u}(\eta, t) = \left[\frac{2K}{g} (g - 1) \right]^{\frac{1}{2}} \eta$$

$$h(\eta, t) = \frac{K}{g} (1 + d_M - \eta^2)$$

$$K = \frac{3\beta M}{2 + 3d_M}$$

Parametric cap solution



Bemerkungen

Asymptotisches Verhalten: $t \rightarrow \infty$

$$\tilde{u} \sim (2K)^{\frac{1}{2}} \eta$$

$$h \sim \left(\frac{K}{2}\right)^{\frac{1}{2}} t^{-1} (d_M + (1 - \eta^2))$$

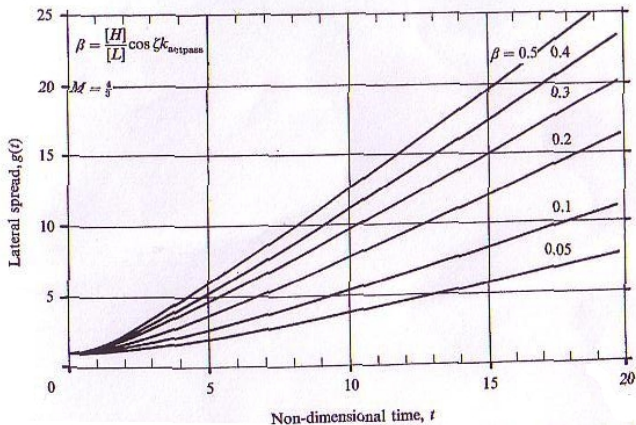
$$g \sim (2K)^{\frac{1}{2}} t$$

Stabilität

Lösung ist asymptotisch stabil gegenüber Störungen welche g nicht stören

Lösung nur gültig für ϵ hinreichend klein

Parametric cap solution



Inhaltsverzeichnis

- 1 Transformation in neues Koordinatensystem
- 2 Exakte Lösungen der Savage-Hutter-Gleichungen
 - Parabolic cap solution
 - M-Welle
 - Schock-Welle
- 3 weitere exakte Lösungen
- 4 Konsequenzen für numerische Lösungen
- 5 Quellen

Ansatz

Wähle Ansatz

$$h(\eta, t) = t^\gamma H(\eta)$$

$$\tilde{u} = t^\delta F(\eta)$$

$$g(t) = t^\alpha$$

einsetzen in (II) ergibt ein Differentialgleichungssystem, welches für $\gamma = 2\delta$ und $\delta = \alpha - 1$

unabh. von t ist Aus der Massenerhaltung folgt außerdem

$$\alpha + \gamma = 0$$

$$\rightsquigarrow \alpha = \frac{2}{3}, \beta = -\frac{2}{3}, \gamma = -\frac{1}{3}$$

M-Welle

einfache Lösungen für F und H

$$F(\eta) = \frac{2}{3}\eta$$

$$H(\eta) = \frac{1}{g\beta}(d_M - (1 - \eta^2)), d_M > 1$$

Lösung von (II)

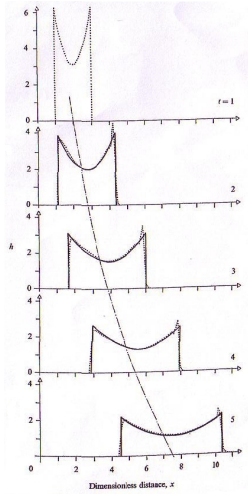
$$\tilde{u}(\eta, t) = \frac{2}{3}t^{-\frac{1}{3}}\eta$$

$$h(\eta, t) = \frac{1}{g\beta}t^{-\frac{2}{3}}(d_M - (1 - \eta^2)), d_M > 1$$

$$g(t) = t^{\frac{2}{3}}$$

$$M = \frac{2}{g\beta}(d_M - \frac{2}{3})$$

M-Welle



Bemerkungen

Stabilität

Lösung ist asymptotisch stabil gegenüber Störungen welche g nicht stören

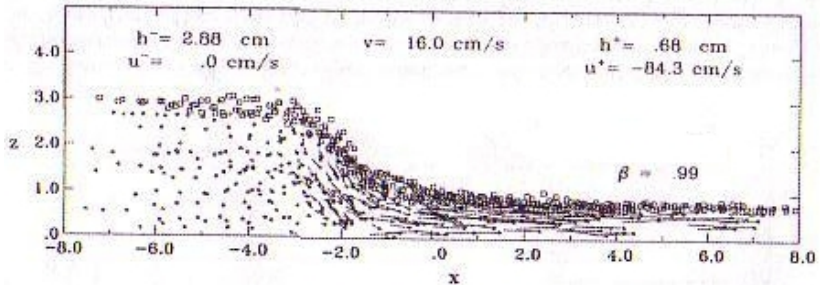
Lösung ist inkonsistent falls t nicht folgende Bedingung erfüllt:

$$t > \left[\frac{2}{3(\sin\zeta - \tan\delta\cos\zeta)} \right]^{\frac{3}{4}}$$

Inhaltsverzeichnis

- 1 Transformation in neues Koordinatensystem
- 2 Exakte Lösungen der Savage-Hutter-Gleichungen
 - Parabolic cap solution
 - M-Welle
 - Schock-Welle
- 3 weitere exakte Lösungen
- 4 Konsequenzen für numerische Lösungen
- 5 Quellen

Schock-Welle



Sprungbedingungen ($\delta = \phi, s = 0$)

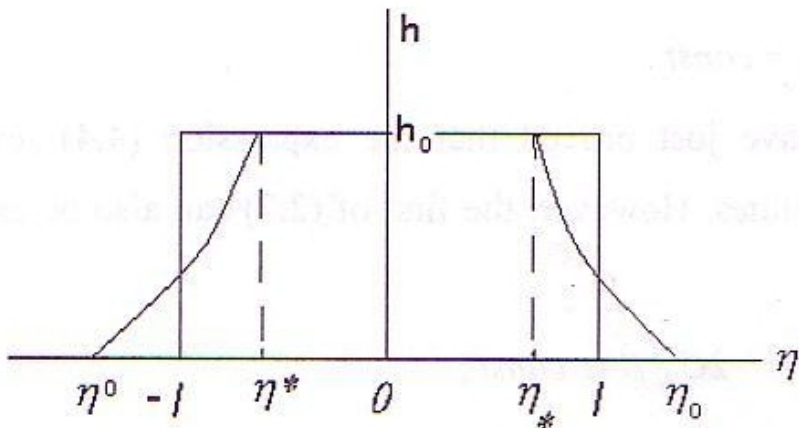
$$h_l(u_l - v) - h_r(u_r - v) = 0$$

$$h_l u_l (u_l - v) - h_r u_r (u_r - v) = -\frac{\cos \zeta k_{actpass,l} h_l^2}{2} + -\frac{\cos \zeta k_{actpass,r} h_r^2}{2}$$

Inhaltsverzeichnis

- 1 Transformation in neues Koordinatensystem
- 2 Exakte Lösungen der Savage-Hutter-Gleichungen
 - Parabolic cap solution
 - M-Welle
 - Schock-Welle
- 3 weitere exakte Lösungen**
- 4 Konsequenzen für numerische Lösungen
- 5 Quellen

Ein einfaches Modell



Ein einfaches Modell

beide Grenzen werden gleichzeitig entfernt

$$\eta_* < \eta < \eta_0$$

$$u = \frac{2}{3} \left(\sqrt{\beta h_0} + \frac{\eta - \lambda}{t} \right)$$

$$h = \frac{1}{9\beta} \left(2\sqrt{\beta h_0} - \frac{\eta - \lambda}{t} \right)^2$$

$$\eta^0 > \eta > \eta^*$$

$$u = \frac{2}{3} \left(-\sqrt{\beta h_0} + \frac{\eta + \lambda}{t} \right)$$

$$h = \frac{1}{9\beta} \left(2\sqrt{\beta h_0} + \frac{\eta + \lambda}{t} \right)^2$$

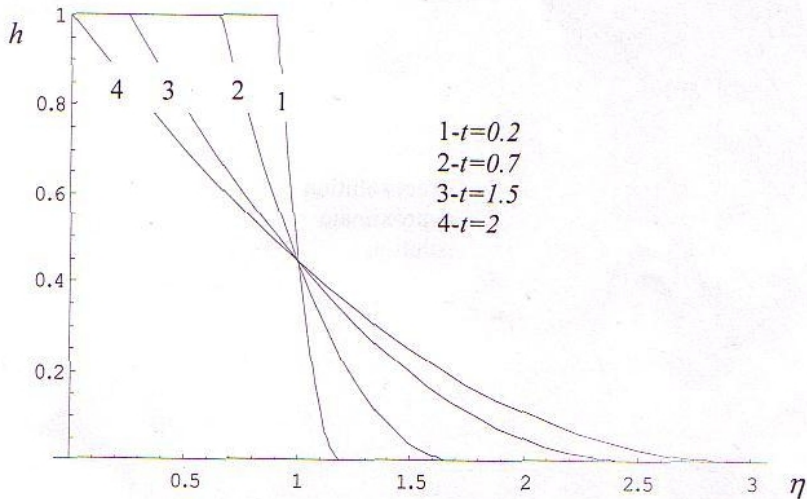
gültig für $t < \frac{\lambda}{\sqrt{\beta h_0}} = \hat{t}$

für $t > \hat{t}$ Berechnung einer exakten Lösung möglich

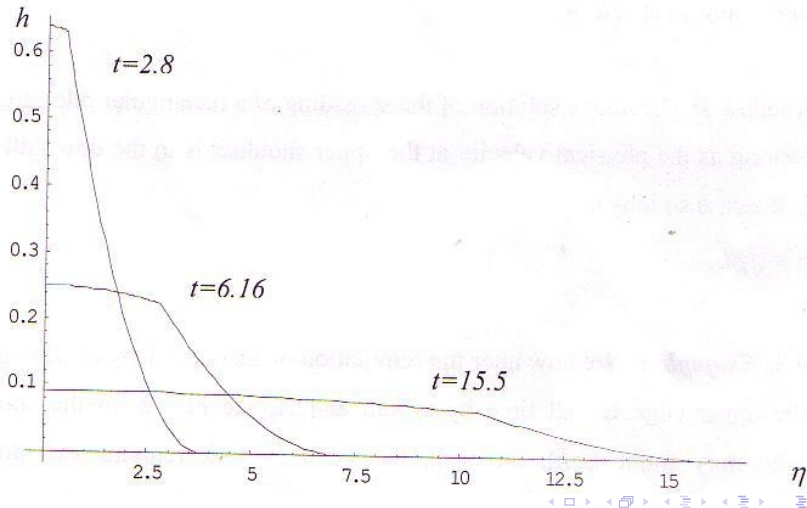
aber numerische Auswertung problematisch

↪ nur Berechnung von Näherungslösungen sinnvoll

Ein einfaches Modell



Ein einfaches Modell



Inhaltsverzeichnis

- 1 Transformation in neues Koordinatensystem
- 2 Exakte Lösungen der Savage-Hutter-Gleichungen
 - Parabolic cap solution
 - M-Welle
 - Schock-Welle
- 3 weitere exakte Lösungen
- 4 Konsequenzen für numerische Lösungen
- 5 Quellen

Konsequenzen für numerische Lösungen

- 1 auftretende Gradienten werden sehr groß und verursachen numerische Oszillationen
- 2 am Lawinenende kommt es bei Auslösung und Ablagerung der Lawine zu Bewegungen

Konsequenzen für numerische Lösungen

- 1 auftretende Gradienten werden sehr groß und verursachen numerische Oszillationen
- 2 am Lawinenende kommt es bei Auslösung und Ablagerung der Lawine zu Bewegungen entgegengesetzt der Lawinenbewegung
- 3 Schockwellen treten auf

Konsequenzen für numerische Lösungen

- 1 auftretende Gradienten werden sehr groß und verursachen numerische Oszillationen
- 2 am Lawinenende kommt es bei Auslösung und Ablagerung der Lawine zu Bewegungen entgegengesetzt der Lawinenbewegung
- 3 Schockwellen treten auf

Inhaltsverzeichnis

- 1 Transformation in neues Koordinatensystem
- 2 Exakte Lösungen der Savage-Hutter-Gleichungen
 - Parabolic cap solution
 - M-Welle
 - Schock-Welle
- 3 weitere exakte Lösungen
- 4 Konsequenzen für numerische Lösungen
- 5 **Quellen**

Quellen

- 1 Savage, S.B. & Hutter, K. (1989), The motion of a finite mass of granular material down a rough incline, Journal of Fluid Mechanics 199, pp. 177-215
- 2 V.A. Chugunow, J.M.N.T. Gray, K. Hutter, Exact solutions of the Savage-Hutter equations for one-dimensional granular flows
- 3 J.M.N.T. Gray, Y.C. Tai, K.Hutter, Shock waves and particle size in shallow granular flows

Vielen Dank für Eure Aufmerksamkeit!

Fragen?